

Bild B4: 16 gleichabständige Stufen W-C, W-M, W-Y und W-N; PS operator $cm\dot{y}0^*/000n^*$ $setcmykcolor$

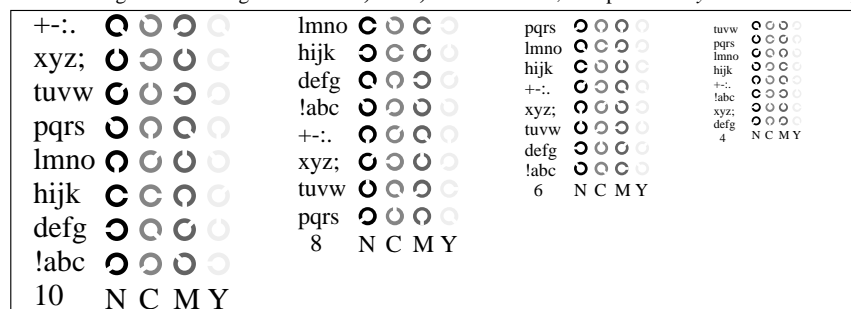


Bild B5: Schrift und Landoltringe N, M, C und Y; Benutzer PS-Operator $cm\dot{y}0^*/000n^*$ $setcmykcolor$

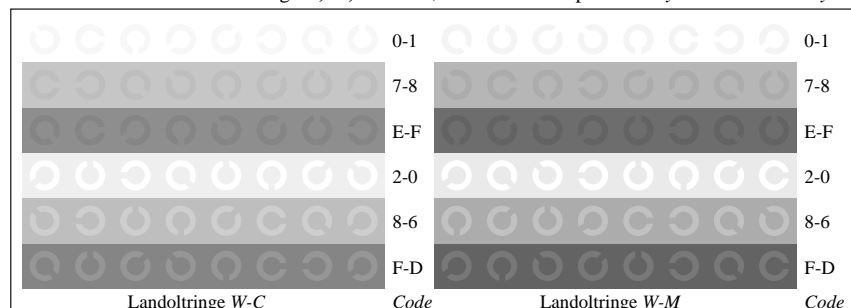


Bild B6: Landoltringe W-C und W-M; Benutzer PS-Operator $cm\dot{y}0^*/000n^*$ $setcmykcolor$

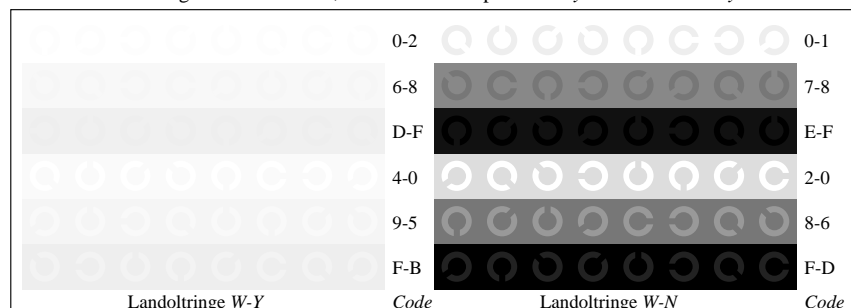


Bild B7: Landoltringe W-Y und W-N; Benutzer PS-Operator $cm\dot{y}0^*/000n^*$ $setcmykcolor$

Fig. B4 bis B7; ISO/IEC-Prüfvorlage 2;

ISO/IEC 15775 und input: mixture (m) of PS operators
DIS ISO/IEC 19839-X; output: w^* $setgray$

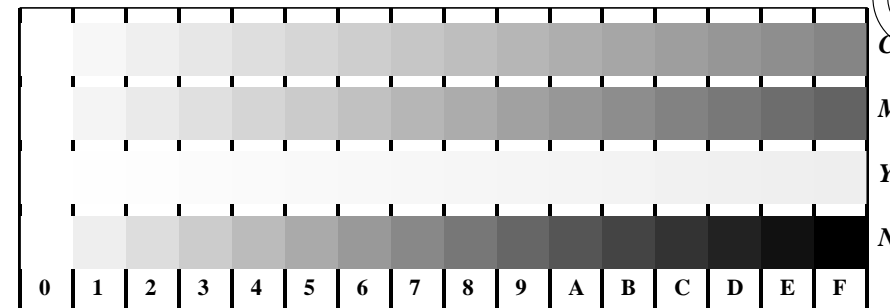


Bild B4: 16 gleichabständige Stufen W-C, W-M, W-Y und W-N; PS-Operator olv^* $setrgbcolor$ / w^* $setgray$

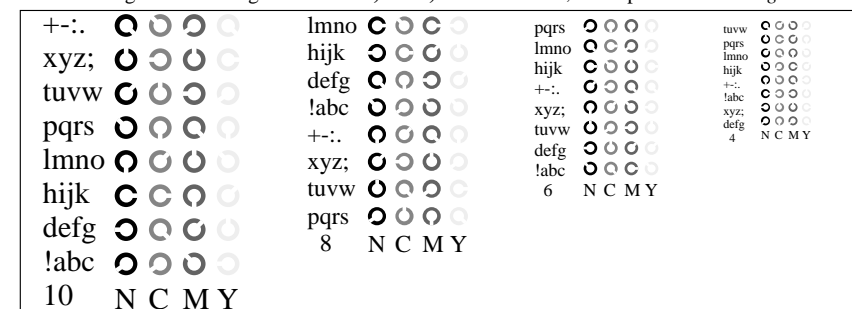


Bild B5: Schrift und Landoltringe N, M, C und Y; Benutzter PS-Operator olv^* $setrgbcolor$ / w^* $setgray$

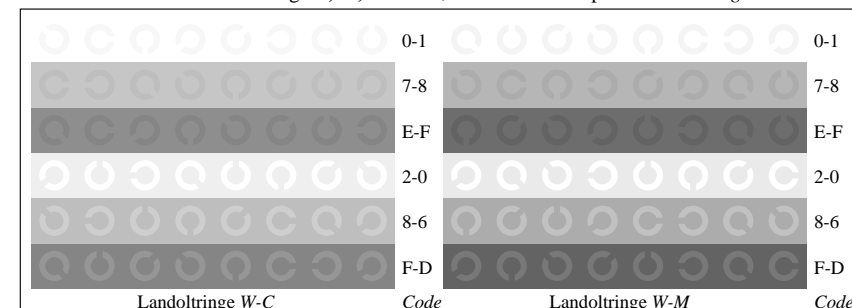


Bild B6: Landoltringe W-C und W-M; Benutzer PS-Operator olv^* $setrgbcolor$ / w^* $setgray$

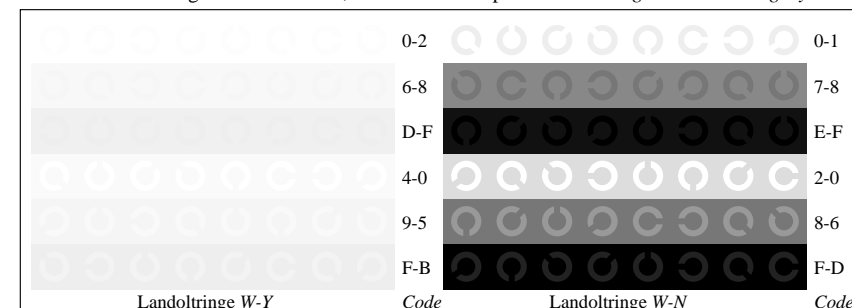


Bild B7: Landoltringe W-Y und W-N; Benutzer PS-Operator olv^* $setrgbcolor$ / w^* $setgray$